

آنالیز دقت انطباق اینرسی در حالت سکون

حامد محمدکریمی^{۱*}، مهدی مبتکر^۲، مهسا قاسمی^۳

۱- استادیار، مهندسی هوافضا، دانشکده هوافضا، دانشگاه صنعتی امیرکبیر، h.mohammadkarimi@aut.ac.ir

۲- دانشجوی کارشناسی هوافضا، دانشکده هوافضا، دانشگاه صنعتی امیرکبیر، m.mobtaker@aut.ac.ir

۳- دانشجوی دکتری هوافضا، دانشکده هوافضا، دانشگاه صنعتی امیرکبیر، mahsa.ghasemi@aut.ac.ir

*نویسنده مخاطب

چکیده

یکی از مراحل مهم قبل از شروع به کار سامانه ناوبری اینرسی، انطباق اولیه است. در این پژوهش، به بررسی و توسعه روابط انطباق دقیق پرداخته شده است. ابتدا، خطای معادلات ناوبری در حالت کلی مدل سازی شده و به طور خاص برای شرایط سکون زمینی بازنویسی می شود. سپس، به منظور کاهش خطای تخمین، معادلات به دست آمده به دو زیرفضای مشاهده پذیر و مشاهده ناپذیر تقسیم شده است. هدف این پژوهش، برآورد دقت الگوریتم انطباق دقیق در هر وضعیت است. به این منظور، به توسعه روابطی پرداخته می شود که در آن مولفه های وضعیت وسیله مشاهده می شود. در ادامه، با استفاده از روابط استخراج شده و حذف بایاس تخمین زده شده از خروجی حسگرها در دستگاه بدنی، روابط جدیدی برای برآورد دقت انطباق به دست آمده است. در انتها، روابط استخراج شده با داده های ۵۰ سناریو مختلف اعتبارسنجی شده است.

واژه های کلیدی: ناوبری اینرسی - انطباق اولیه - زیرفضای مشاهده پذیر - زیرفضای مشاهده ناپذیر - انطباق دقیق

۱- مقدمه

از ویژگی های سیستم ناوبری اینرسی می توان به خودگردانی بالا و اختفاء قوی اشاره کرد. از این رو در حامل هایی مانند وسایل پرنده بدون سرنشین، راکت ها، کشتی ها و وسایل نقلیه زمینی استفاده می شود [۱ و ۲]. با پیشرفت سیستم های ناوبری اینرسی در زمینه های مرتبط، به ویژه در زمینه هوافضا، این سیستم ها به یک کانون تحقیقاتی مهم تبدیل شده اند [۳]. با توسعه تکنولوژی، سیستم ناوبری متصل به بدنه جایگزین سیستم ناوبری اینرسی صفحه پایدار شده و تحقیقات وسیعی در این زمینه انجام شده است. سیستم های ناوبری اینرسی به طور گسترده در سلاح ها و تجهیزات نظامی استفاده می شود. برای مثال، اطمینان از نقطه زنی دقیق سلاح ها و تجهیزات با دقت ناوبری بالا سنجیده می شود [۳]. یک مرحله مهم قبل از اینکه سیستم ناوبری اینرسی شروع به کار کند، انطباق اولیه است. دقت انطباق اولیه بر دقت ناوبری تأثیر مستقیم دارد [۴ و ۵]. بنابراین فاز انطباق اولیه یکی از مراحل حیاتی در شروع به کار INS بوده و مستلزم دقت و سرعت بالا است [۶]. الگوریتم انطباق اولیه برای ناوبری اینرسی یک روش ریاضی برای تعیین وضعیت اولیه بین قاب بدنی و قاب ناوبری [۷، ۸] است. الگوریتم های مختلفی برای انطباق اولیه وجود دارد که هر کدام پاسخ گوی شرایط خاصی هستند. این الگوریتم ها را می توان به موارد زیر تقسیم کرد [۹]: انطباق دقیق / خام: با توجه به میزان خطای وضعیت.

انطباق استاتیک / در حرکت: با توجه به دینامیک وسیله ناوبری شده

در روند ناوبری.

انطباق خام سرعت بالایی دارد اما دقت آن کم است. در مقابل، فرایند انطباق دقیق کند است اما دقت آن بالاتر است. در این مقاله، به بررسی انطباق دقیق پرداخته می شود. در این مرحله از یک تخمین گر، مثلاً فیلتر کالمن، برای افزایش دقت انطباق خام استفاده می شود؛ فیلتر طراحی شده بر اساس خروجی حسگرها و مدل خطای آن ها و همچنین معادلات خطی شده ناوبری، انطباق خام را اصلاح می کند. سپس اختلاف ماتریس تبدیل تخمین زده شده و ماتریس تبدیل واقعی، با بردار انحراف به دست آمده و الگوریتم ناوبری اندازه بردار به دست آمده را حداقل می کند.

در مراجع [۱۰] و [۱۱] خطاهای حسگر اینرسی و روش های پیشرفته پردازش سیگنال بررسی شده است. مرجع [۱۳] در ادامه تحقیقات مرجع [۱۲] است. در این مرجع به بررسی و گسترش مفهوم الگوریتم انطباق خام [۱۲] پرداخته شده است. به منظور محاسبه زوایای وضعیت اولیه با استفاده از حسگرهای اینرسی و اندازه گیری های مغناطیسی سنج از واحد ADIS16405 یک الگوریتم ارائه شده است. الگوریتم انطباق دقیق معرفی شده به منظور بهبود نتایج وضعیت محاسبه شده توسط الگوریتم انطباق خام، از فیلتر کالمن توسعه یافته (EKF) [۱۴] استفاده می کند. در این مرجع الگوریتم انطباق خام و دقیق ترکیب شده است که منجر به ناوبری اینرسی با دقت بالاتر شده است.

یکی از کاربرد های INS در صنایع دریایی است. در ادامه مقالاتی در رابطه با انطباق اولیه تحت شرایط پهلوگیری دریایی بررسی شده است. در شرایط پهلوگیری دریایی، با حرکات خطی و زاویه ای وسیله، انطباق INS مختل می شود. سامانه INS باید در برابر حرکات تصادفی مانند اختلالات رول، پیچ و یاو و همچنین نوسانات شدید مقاومت کند [۱۵]. به عبارتی در طول فرآیند انطباق، شتابها و سرعت های زاویه ای اختلالی وجود دارد. از روش های متداول انطباق می توان به روش حلقه قطب نما (compass loop) و روش فیلتر کالمن اشاره کرد. در روش حلقه قطب نما که از قطب نما برای استفاده می کند، وسیله نباید حرکت خطی انجام دهد [۱۶]. بنابراین در شرایط پهلوگیری دریایی که شتاب های اختلالی وجود دارد نمی توان از این روش استفاده کرد. روش دیگر، روش استاندارد فیلتر کالمن است. این روش از تئوری کنترل مدرن برای تخمین زوایای انطباق استفاده می کند. استفاده از این روش برای حرکات خطی و زاویه ای امکان پذیر است [۱۷]. شتاب اختلالی و سرعت های زاویه ای تأثیر مستقیم بر دقت و زمان تخمین دارد [۱۸، ۱۹] و در این حالت مدت زمان تخمین به بیش

با استفاده از روابط سینماتیکی، معادلات موقعیت در رابطه (۱) بیان شده است:

$$\begin{aligned}\dot{\ell} &= \frac{v_e}{(R_{\text{normal}} + h) \cos \lambda} \\ \dot{\lambda} &= \frac{v_n}{R_{\text{meridian}} + h} \\ \dot{h} &= -v_d\end{aligned}\quad (1)$$

که در آن v_n ، v_e و v_d مولفه‌های سرعت وسیله در دستگاه مختصات جغرافیایی (NED) و ℓ ، λ ، h ، R_{meridian} و R_{normal} به ترتیب طول جغرافیایی، عرض جغرافیایی، ارتفاع جسم از سطح زمین، شعاع انحنا زمین در صفحه نصف‌النهار محلی و شعاع انحنا تقاطع صفحه عمود بر نصف‌النهار محلی با سطح زمین است.

با دیفرانسیل‌گیری از رابطه (۱) و با فرض ناوبری در نزدیک سطح زمین کروی، خطای معادله موقعیت از رابطه (۲) بدست می‌آید.

$$\begin{aligned}\varepsilon \dot{\ell} &\approx \frac{\varepsilon v_e (R_e \cos \lambda) - (\varepsilon h \cos \lambda - R_e \sin \lambda \varepsilon \dot{\lambda}) v_e}{R_e^2 \cos^2 \lambda} \\ &= \frac{1}{R_e \cos \lambda} \varepsilon v_e - \frac{v_e}{R_e^2 \cos \lambda} \varepsilon h + \frac{v_e \sin \lambda}{R_e \cos^2 \lambda} \varepsilon \dot{\lambda} \\ \varepsilon \dot{\lambda} &\approx \frac{\varepsilon v_n (R_e) - (\varepsilon h) v_n}{R_e^2} = \frac{1}{R_e} \varepsilon v_n - \frac{v_n}{R_e^2} \varepsilon h \\ \varepsilon \dot{h} &= -\varepsilon v_d\end{aligned}\quad (2)$$

۲-۲- خطای معادله وضعیت

به منظور بررسی خطای معادله وضعیت، دستگاه جغرافیایی NED به‌عنوان دستگاه ناوبری انتخاب شده است و \mathbf{R}^{NN} تنسور دوران دستگاه ناوبری به تخمین دستگاه ناوبری است، که در رابطه (۳) بیان شده است (علامت $\hat{\cdot}$ به معنای کمیت محاسبه شده است):

$$\mathbf{R}^{\text{NN}} = \mathbf{E} + \varepsilon \mathbf{R}^{\text{NN}} \quad (3)$$

که در این رابطه \mathbf{E} تنسور یکانی و $\varepsilon \mathbf{R}^{\text{NN}}$ تنسور شبه متقارن تنسور اغتشاش ($\varepsilon \mathbf{R}^{\text{NN}}$) است که در رابطه (۴) مدل شده است:

$$[\varepsilon \mathbf{R}^{\text{NN}}]^{\text{N}} = [\varepsilon \mathbf{r}^{\text{NN}}]^{\text{N}} = \begin{bmatrix} \varepsilon \varphi \\ \varepsilon \theta \\ \varepsilon \psi \end{bmatrix} \quad (4)$$

در این رابطه $\varepsilon \varphi$ ، $\varepsilon \theta$ و $\varepsilon \psi$ به ترتیب خطای محاسبه زوایای رول، پیچ و یاو است. در رابطه (۵) اغتشاش بردار سرعت زاویه‌ای چهارچوب بدنی نسبت به چهارچوب ناوبری بیان شده است.

$$\begin{aligned}\varepsilon \boldsymbol{\omega}^{\text{BN}} &= \hat{\boldsymbol{\omega}}^{\text{BN}} - \mathbf{R}^{\text{NN}} \boldsymbol{\omega}^{\text{BN}} = \boldsymbol{\omega}^{\text{BN}} - \mathbf{R}^{\text{NN}} \boldsymbol{\omega}^{\text{BN}} = \boldsymbol{\omega}^{\text{BN}} + \boldsymbol{\omega}^{\text{NN}} - \mathbf{R}^{\text{NN}} \boldsymbol{\omega}^{\text{BN}} \\ &= \boldsymbol{\omega}^{\text{NN}} + (\mathbf{E} - \mathbf{R}^{\text{NN}}) \boldsymbol{\omega}^{\text{BN}} = \boldsymbol{\omega}^{\text{NN}} - \varepsilon \mathbf{R}^{\text{NN}} \boldsymbol{\omega}^{\text{BN}}\end{aligned}\quad (5)$$

همچنین داریم:

$$\begin{aligned}\boldsymbol{\Omega}^{\text{NN}} &= (\mathbf{D}^{\text{N}} \mathbf{R}^{\text{NN}}) \bar{\mathbf{R}}^{\text{NN}} = (\mathbf{D}^{\text{N}} (\mathbf{E} + \varepsilon \mathbf{R}^{\text{NN}})) (\mathbf{E} - \varepsilon \mathbf{R}^{\text{NN}}) \\ &= \mathbf{D}^{\text{N}} \varepsilon \mathbf{R}^{\text{NN}} - (\mathbf{D}^{\text{N}} \varepsilon \mathbf{R}^{\text{NN}}) \varepsilon \mathbf{R}^{\text{NN}} \\ &\approx \mathbf{D}^{\text{N}} \varepsilon \mathbf{R}^{\text{NN}}\end{aligned}\quad (6)$$

در نهایت با استفاده از معادلات (۵) و (۶) می‌توان نوشت:

$$\mathbf{D}^{\text{N}} \varepsilon \mathbf{r}^{\text{NN}} = -\varepsilon \boldsymbol{\omega}^{\text{BN}} - \varepsilon \mathbf{R}^{\text{NN}} \boldsymbol{\omega}^{\text{BN}} \quad (7)$$

از ۲۵ دقیقه افزایش می‌یابد. این یعنی قبل از وارد شدن به شرایط کار INS، مدت زمان قابل توجهی صرف انطباق اولیه می‌شود. از آن‌جا که سرعت انتقال اطلاعات ناوبری به وسیله مهم است، بدیهی است که مدت زمان طولانی برای انطباق اولیه قابل قبول نیست. در سال‌های اخیر، انطباق خام برای انطباق INS دریایی معرفی شده است. این روش از بردار گرانش بیان شده در قاب اینرسی به‌عنوان مرجع استفاده می‌کند. در مرجع [۲۰] در انطباق خام، به‌منظور محاسبه مقدار دقیق ماتریس وضعیت اولیه بین قاب بدنی و قاب اینرسی، از تصویر بردار گرانش بیان شده در قاب اینرسی استفاده شده است.

این روش در برابر حرکات تصادفی تحت شرایط پهلوگیری وسیله مقاوم است. علاوه بر این، با توسعه فناوری رایانه ناوبری، یک رایانه ناوبری مدرن می‌تواند داده‌های متعدد IMU (واحد اندازه‌گیری اینرسی) را ذخیره کند. استفاده از داده‌های ذخیره شده IMU طول داده‌های مورد نیاز برای اجرای ناوبری را کاهش می‌دهد [۲۱].

بنابراین می‌توان مدت زمان انطباق اولیه را کاهش داد و یک روش انطباق دقیق با سرعت بالا به‌دست آورد. با توجه به [۲۰] و [۲۱] و ایده استفاده از داده‌های ذخیره شده IMU، در [۲۲] با استفاده از تصویر بردار گرانش بیان شده در قاب اینرسی، و داده‌های ذخیره شده IMU یک روش انطباق INS سریع پیشنهاد شده است. از طرفی، استفاده از تصویر گرانش بیان شده در قاب اینرسی، با استفاده از فیلتر کالمن، می‌تواند از اثرات شتاب‌های اختلالی و سرعت‌های زاویه‌ای در انطباق INS جلوگیری کند [۲۳].

از سوی دیگر، استفاده مکرر از داده‌های ذخیره شده IMU می‌تواند مدت زمان فرآیند انطباق را کاهش دهد. در این روش، داده‌های IMU در حافظه کامپیوتر ناوبری ذخیره می‌شود. سپس با استفاده از این داده‌ها ماتریس وضعیت اولیه تخمین زده می‌شود، این یعنی از مدت زمان انطباق طولانی اجتناب می‌کنیم. بنابراین، روش پیشنهادی الزامات دقت بالا و انطباق سریع تحت شرایط پهلوگیری دریایی را برآورده می‌کند.

در پژوهش‌های بررسی شده، روابط انطباق دقیق متأثر از بایاس سنسورها است. در پژوهش حاضر، این روابط با توجه به وضعیت وسیله توسعه داده می‌شوند که بنابر اطلاع نویسندگان تا به حال از این رویکرد استفاده نشده است. با بهره‌گیری از روابط جدید و حذف بایاس تخمین زده شده از خروجی حسگرها در دستگاه بدنی، برآورد دقیقی از دقت الگوریتم انطباق اینرسی به‌دست آمده است.

ساختار مقاله حاضر به این صورت است: در بخش دوم، به استخراج روابط خطای معادلات متغیرهای ناوبری در حالت کلی و در حالت سکون زمینی پرداخته می‌شود. در بخش سوم، معادلات استخراج شده به دو زیرفضای مشاهده‌پذیر و مشاهده‌ناپذیر تقسیم می‌شود. در بخش چهارم، رابطه جدیدی برای دقت نهایی زوایای انطباق و سمت به دست می‌آید. در بخش پنجم، نتایج شبیه‌سازی ارائه شده است.

۲- استخراج مدل خطای متغیرهای ناوبری

به‌منظور انطباق دقیق در سیستم ناوبری اینرسی، از فیلترهای تخمین‌گر مانند فیلتر کالمن استفاده می‌شود. از این رو مدل خطای متغیرهای ناوبری استخراج می‌شود. لذا در این بخش، معادلات استفاده شده در مسئله انطباق دقیق استخراج شده و در شرایط حالت سکون بازنویسی خواهد شد.

$$\begin{aligned}
\varepsilon\dot{\varphi} &= \omega_d \varepsilon \lambda - \frac{v_e}{R_e} \varepsilon h + \frac{1}{R_e} \varepsilon v_e + \left(\omega_d - \frac{v_e \tan \lambda}{R_e} \right) \varepsilon \theta \\
&+ \frac{v_n}{R_e} \varepsilon \psi - T_{11}^{NB} \delta \omega_x - T_{12}^{NB} \delta \omega_y - T_{13}^{NB} \delta \omega_z \\
\varepsilon\dot{\theta} &= \frac{v_n}{R_e} \varepsilon h - \frac{1}{R_e} \varepsilon v_n + \left(\frac{v_e \tan \lambda}{R_e} - \omega_d \right) \varepsilon \varphi + \\
&(\omega_n + \frac{v_e}{R_e}) \varepsilon \psi - T_{21}^{NB} \delta \omega_x - T_{22}^{NB} \delta \omega_y - T_{23}^{NB} \delta \omega_z \\
\varepsilon\dot{\psi} &= -(\omega_n + \frac{v_e \sec^2 \lambda}{R_e}) \varepsilon \lambda + \frac{v_e \tan \lambda}{R_e} \varepsilon h - \frac{\tan \lambda}{R_e} \varepsilon v_e \\
&- \frac{v_n}{R_e} \varepsilon \varphi - (\omega_n + \frac{v_e}{R_e}) \varepsilon \theta - T_{31}^{NB} \delta \omega_x - T_{32}^{NB} \delta \omega_y - T_{33}^{NB} \delta \omega_z
\end{aligned} \quad (16)$$

۲-۲- خطای معادله سرعت

با توجه به قانون دوم نیوتن، معادله سرعت به دست می‌آید:

$$D^N \mathbf{v}_B^E = \mathbf{f} + \mathbf{g} - (2\boldsymbol{\Omega}^{EI} + \boldsymbol{\Omega}^{NE}) \mathbf{v}_B^E \quad (17)$$

که در آن \mathbf{f} و \mathbf{g} به ترتیب بیانگر نیروی مخصوص غیرجاذبی و شتاب گرانش محلی است. با دیفرانسیل گیری از رابطه (۱۷) داریم:

$$D^N \varepsilon \mathbf{v}_B^E = \varepsilon \mathbf{f} + \varepsilon \mathbf{g} - (2\varepsilon \boldsymbol{\Omega}^{EI} + \varepsilon \boldsymbol{\Omega}^{NE}) \mathbf{v}_B^E - (2\boldsymbol{\Omega}^{EI} + \boldsymbol{\Omega}^{NE}) \varepsilon \mathbf{v}_B^E \quad (18)$$

داریم: $\varepsilon \mathbf{f}$ برای بردار

$$\varepsilon \mathbf{f} = \tilde{\mathbf{f}} - \mathbf{R}^{NN} \mathbf{f} = (\mathbf{f} + \delta \mathbf{f}) - \mathbf{R}^{NN} \mathbf{f} \quad (19)$$

$$= \delta \mathbf{f} + (\mathbf{E} - \mathbf{R}^{NN}) \mathbf{f} = \delta \mathbf{f} - \varepsilon \mathbf{R}^{NN} \mathbf{f}$$

در این رابطه، $\delta \mathbf{f}$ نوبز شتاب سنچ‌ها است. با جایگذاری رابطه (۱۹) در رابطه (۱۸) و بیان معادله در دستگاه ناوبری، رابطه (۲۰) استخراج می‌شود.

$$\begin{aligned}
(20) \quad [D^N \varepsilon \mathbf{v}_B^E]^N &= [\delta \mathbf{f}]^N - [\varepsilon \mathbf{R}^{NN}]^N [\mathbf{f}]^N + [\varepsilon \mathbf{g}]^N \\
&- [2[\varepsilon \boldsymbol{\Omega}^{EI}]^N + [\varepsilon \boldsymbol{\Omega}^{NE}]^N] [\mathbf{v}_B^E]^N - [2[\boldsymbol{\Omega}^{EI}]^N + [\boldsymbol{\Omega}^{NE}]^N] [\varepsilon \mathbf{v}_B^E]^N
\end{aligned}$$

در ادامه به بسط عبارتهای موجود در رابطه (۲۰) خواهیم پرداخت.

$$[\delta \mathbf{f}]^N = [\mathbf{T}]^{NB} [\delta \mathbf{f}]^B = \begin{bmatrix} T_{11}^{NB} & T_{12}^{NB} & T_{13}^{NB} \\ T_{21}^{NB} & T_{22}^{NB} & T_{23}^{NB} \\ T_{31}^{NB} & T_{32}^{NB} & T_{33}^{NB} \end{bmatrix} \begin{bmatrix} \delta f_x \\ \delta f_y \\ \delta f_z \end{bmatrix} \quad (21)$$

$$[\mathbf{f}]^N = [\mathbf{T}]^{NB} [\mathbf{f}]^B = \begin{bmatrix} T_{11}^{NB} & T_{12}^{NB} & T_{13}^{NB} \\ T_{21}^{NB} & T_{22}^{NB} & T_{23}^{NB} \\ T_{31}^{NB} & T_{32}^{NB} & T_{33}^{NB} \end{bmatrix} \begin{bmatrix} f_x \\ f_y \\ f_z \end{bmatrix} = \begin{bmatrix} f_n \\ f_e \\ f_d \end{bmatrix} \quad (22)$$

$$[\varepsilon \mathbf{g}]^N = \begin{bmatrix} 0 \\ 0 \\ \hat{g} \end{bmatrix} - \begin{bmatrix} 0 \\ 0 \\ g \end{bmatrix} = \begin{bmatrix} 0 \\ 0 \\ g + \delta g \end{bmatrix} - \begin{bmatrix} 0 \\ 0 \\ g \end{bmatrix} = \begin{bmatrix} 0 \\ 0 \\ \delta g \end{bmatrix} \quad (23)$$

رابطه (۲۳)، بیانگر اغتشاش بردار گرانش است.

$$[\varepsilon \boldsymbol{\Omega}^{EI}]^N = \begin{bmatrix} 0 & \omega_n \varepsilon \lambda & 0 \\ -\omega_n \varepsilon \lambda & 0 & -\omega_d \varepsilon \lambda \\ 0 & \omega_d \varepsilon \lambda & 0 \end{bmatrix} \quad (24)$$

در رابطه (۲۴)، تنسور اغتشاش تنسور سرعت زاویه‌ای چهارچوب زمین نسبت به چهارچوب اینرسی در دستگاه ناوبری بیان شده‌است.

$$[\boldsymbol{\Omega}^{EI}]^N = \begin{bmatrix} 0 & -\omega_d & 0 \\ \omega_d & 0 & -\omega_n \\ 0 & \omega_n & 0 \end{bmatrix} \quad (25)$$

سرعت‌های زاویه‌ای از رابطه (۸) به دست می‌آید.

$$\begin{cases} \boldsymbol{\omega}^{BN} = \boldsymbol{\omega}^{BI} - \boldsymbol{\omega}^{NE} - \boldsymbol{\omega}^{EI} \\ \boldsymbol{\varepsilon} \boldsymbol{\omega}^{BN} = \boldsymbol{\varepsilon} \boldsymbol{\omega}^{BI} - \boldsymbol{\varepsilon} \boldsymbol{\omega}^{NE} - \boldsymbol{\varepsilon} \boldsymbol{\omega}^{EI} \end{cases} \quad (8)$$

که در این رابطه، $\boldsymbol{\varepsilon} \boldsymbol{\omega}^{BI}$ از رابطه (۹) به دست می‌آید (علامت \sim به معنای کمیت اندازه‌گیری شده است).

$$\boldsymbol{\varepsilon} \boldsymbol{\omega}^{BI} = \tilde{\boldsymbol{\omega}}^{BI} - \mathbf{R}^{NN} \boldsymbol{\omega}^{BI} = (\boldsymbol{\omega}^{BI} + \delta \boldsymbol{\omega}^{BI}) - \mathbf{R}^{NN} \boldsymbol{\omega}^{BI} = (\mathbf{E} - \mathbf{R}^{NN}) \boldsymbol{\omega}^{BI} + \delta \boldsymbol{\omega}^{BI} = -\varepsilon \mathbf{R}^{NN} \boldsymbol{\omega}^{BI} + \delta \boldsymbol{\omega}^{BI} \quad (9)$$

که در آن بردار نوبزهای جابروهای نرخی است. با جایگذاری روابط (۸) و (۹) در رابطه (۷)، معادله تنسوری وضعیت به دست می‌آید که در انطباق دقیق استفاده می‌شود. با بیان عددی این معادله در دستگاه ناوبری خواهیم داشت:

$$[D^N \varepsilon \mathbf{r}^{NN}]^N = [\varepsilon \boldsymbol{\omega}^{NE}]^N + [\varepsilon \boldsymbol{\omega}^{EI}]^N + [\varepsilon \mathbf{R}^{NN}]^N [\boldsymbol{\omega}^{EI}]^N + [\varepsilon \mathbf{R}^{NN}]^N [\boldsymbol{\omega}^{NE}]^N - [\delta \boldsymbol{\omega}^{BI}]^N \quad (10)$$

در ادامه، مولفه‌های سمت راست رابطه (۱۰) بسط داده شده‌است. رابطه (۱۱) بیانگر خطای سرعت زاویه‌ای چهارچوب ناوبری نسبت به چهارچوب زمین، بیان شده در چهارچوب ناوبری است.

$$\begin{aligned}
[\varepsilon \boldsymbol{\omega}^{NE}]^N &= [\varepsilon \boldsymbol{\omega}^{NE}]^{\hat{N}} = [\hat{\boldsymbol{\omega}}^{NE}]^{\hat{N}} - [\boldsymbol{\omega}^{NE}]^N \\
&\approx \begin{bmatrix} -\frac{v_e}{R_e} \varepsilon h + \frac{1}{R_e} \varepsilon v_e \\ \frac{v_n}{R_e} \varepsilon h - \frac{1}{R_e} \varepsilon v_n \\ -\frac{v_e \sec^2 \lambda}{R_e} \varepsilon \lambda + \frac{v_e \tan \lambda}{R_e} \varepsilon h - \frac{\tan \lambda}{R_e} \varepsilon v_e \end{bmatrix}
\end{aligned} \quad (11)$$

رابطه (۱۲) نشان‌دهنده خطای سرعت زاویه‌ای چهارچوب زمین نسبت به چهارچوب اینرسی، بیان شده در دستگاه ناوبری است.

$$\begin{aligned}
[\varepsilon \boldsymbol{\omega}^{EI}]^N &= [\varepsilon \boldsymbol{\omega}^{EI}]^{\hat{N}} = [\hat{\boldsymbol{\omega}}^{EI}]^{\hat{N}} - [\boldsymbol{\omega}^{EI}]^N \\
&= \begin{bmatrix} \omega_d \varepsilon \lambda \\ 0 \\ -\omega_n \varepsilon \lambda \end{bmatrix}
\end{aligned} \quad (12)$$

در ادامه داریم:

$$[\varepsilon \mathbf{R}^{NN}]^N [\boldsymbol{\omega}^{EI}]^N = \begin{bmatrix} 0 & -\varepsilon \psi & \varepsilon \theta \\ \varepsilon \psi & 0 & -\varepsilon \varphi \\ -\varepsilon \theta & \varepsilon \varphi & 0 \end{bmatrix} \begin{bmatrix} \omega^{EI} \cos \lambda \\ 0 \\ -\omega^{EI} \sin \lambda \end{bmatrix} \quad (13)$$

$$= \begin{bmatrix} 0 & -\varepsilon \psi & \varepsilon \theta \\ \varepsilon \psi & 0 & -\varepsilon \varphi \\ -\varepsilon \theta & \varepsilon \varphi & 0 \end{bmatrix} \begin{bmatrix} \omega_n \\ 0 \\ \omega_d \end{bmatrix} = \begin{bmatrix} \omega_d \varepsilon \theta \\ \omega_n \varepsilon \psi - \omega_d \varepsilon \varphi \\ -\omega_n \varepsilon \theta \end{bmatrix}$$

$$[\varepsilon \mathbf{R}^{NN}]^N [\boldsymbol{\omega}^{NE}]^N \approx \begin{bmatrix} \frac{v_n}{R_e} \varepsilon \psi - \frac{v_e \tan \lambda}{R_e} \varepsilon \theta \\ \frac{v_e}{R_e} \varepsilon \psi + \frac{v_e \tan \lambda}{R_e} \varepsilon \varphi \\ -\frac{v_e}{R_e} \varepsilon \theta - \frac{v_n}{R_e} \varepsilon \varphi \end{bmatrix} \quad (14)$$

بردار نوبز جابروهای نرخی، بیان شده در دستگاه ناوبری:

$$[\delta \boldsymbol{\omega}^{BI}]^N = [\mathbf{T}]^{NB} [\delta \boldsymbol{\omega}^{BI}]^B = \begin{bmatrix} T_{11}^{NB} \delta \omega_x + T_{12}^{NB} \delta \omega_y + T_{13}^{NB} \delta \omega_z \\ T_{21}^{NB} \delta \omega_x + T_{22}^{NB} \delta \omega_y + T_{23}^{NB} \delta \omega_z \\ T_{31}^{NB} \delta \omega_x + T_{32}^{NB} \delta \omega_y + T_{33}^{NB} \delta \omega_z \end{bmatrix} \quad (15)$$

در نهایت با جایگذاری روابط (۱۱) تا (۱۵) در رابطه (۱۰)، خطای معادلات وضعیت در رابطه (۱۶) بیان می‌شود.

در ادامه با اعمال شرایط سکون زمینی ($[\bar{\mathbf{v}}_B^E]^N = [0 \ 0 \ 0]$) و همچنین فرضیات مطرح شده، خطای معادلات متغیرهای ناوبری در حالت سکون زمینی به دست می آید. قبل از ورود به بازنویسی معادلات، تعاریف زیر را مطرح می کنیم:

(۳۰)

$$\begin{bmatrix} T_{11}^{NB} \delta f_x + T_{12}^{NB} \delta f_y + T_{13}^{NB} \delta f_z \\ T_{21}^{NB} \delta f_x + T_{22}^{NB} \delta f_y + T_{23}^{NB} \delta f_z \\ T_{31}^{NB} \delta f_x + T_{32}^{NB} \delta f_y + T_{33}^{NB} \delta f_z \end{bmatrix} = [T]^{NB} \begin{bmatrix} \delta f_x \\ \delta f_y \\ \delta f_z \end{bmatrix} = [T]^{NB} \begin{bmatrix} b_x + w_x^a \\ b_y + w_y^a \\ b_z + w_z^a \end{bmatrix} = \begin{bmatrix} b_n + w_n^a \\ b_e + w_e^a \\ b_d + w_d^a \end{bmatrix} \quad (31)$$

$$\begin{bmatrix} T_{11}^{NB} \delta \omega_x + T_{12}^{NB} \delta \omega_y + T_{13}^{NB} \delta \omega_z \\ T_{21}^{NB} \delta \omega_x + T_{22}^{NB} \delta \omega_y + T_{23}^{NB} \delta \omega_z \\ T_{31}^{NB} \delta \omega_x + T_{32}^{NB} \delta \omega_y + T_{33}^{NB} \delta \omega_z \end{bmatrix} = [T]^{NB} \begin{bmatrix} \delta \omega_x \\ \delta \omega_y \\ \delta \omega_z \end{bmatrix} = [T]^{NB} \begin{bmatrix} d_x + w_x^g \\ d_y + w_y^g \\ d_z + w_z^g \end{bmatrix} = \begin{bmatrix} d_n + w_n^g \\ d_e + w_e^g \\ d_d + w_d^g \end{bmatrix}$$

حال معادلات را به این صورت بازنویسی می کنیم:

$$\begin{aligned} \dot{v}_n &= b_n + w_n^a + 2\omega_d \varepsilon v_e + g \varepsilon \theta \\ \dot{v}_e &= b_e + w_e^a - 2\omega_d \varepsilon v_n - g \varepsilon \varphi \\ \dot{v}_d &= b_d + w_d^a - 2\omega_n \varepsilon v_e \\ \dot{\varphi} &= -d_n - w_n^g + \frac{1}{R_e} \varepsilon v_e + \omega_d \varepsilon \theta \\ \dot{\theta} &= -d_e - w_e^g - \frac{1}{R_e} \varepsilon v_n - \omega_d \varepsilon \varphi + \omega_n \varepsilon \psi \\ \dot{\psi} &= -d_d - w_d^g - \frac{\tan \lambda}{R_e} \varepsilon v_e - \omega_n \varepsilon \theta \\ \dot{b}_n &= \dot{b}_e = \dot{b}_d = \dot{d}_n = \dot{d}_e = \dot{d}_d = 0 \end{aligned} \quad (32)$$

۳- تصویر معادلات در فضاهای مشاهده پذیر و مشاهده ناپذیر

در این بخش معادلات ناوبری در حالت سکون به دو زیرفضای مشاهده پذیر و مشاهده ناپذیر تقسیم می شوند. بنابر نظر مرجع [۲۴] خطای تخمین در زیرفضای مشاهده پذیر، از نظر تئوری می تواند به صفر میل کند؛ لذا استفاده از این زیرفضا موجب افزایش دقت تخمین می شود.

اکنون معادلات (۳۲) را به صورت فضای حالت می نویسیم:

$$\dot{\mathbf{e}}\mathbf{x} = \mathbf{A}\mathbf{e}\mathbf{x} + \mathbf{G}\mathbf{w} \quad (33)$$

$$\mathbf{e}\mathbf{x} = [\varepsilon v_n \ \varepsilon v_e \ \varepsilon v_d \ \varepsilon \varphi \ \varepsilon \theta \ \varepsilon \psi \ b_n \ b_e \ b_d \ d_n \ d_e \ d_d]^T$$

$$\mathbf{w} = [w_x^a \ w_y^a \ w_z^a \ w_x^g \ w_y^g \ w_z^g]^T$$

$$\mathbf{A} = \begin{bmatrix} 0 & 2\omega_d & 0 & 0 & g & 0 & 1 & 0 & 0 & 0 & 0 & 0 \\ -2\omega_d & 0 & 0 & -g & 0 & 0 & 0 & 1 & 0 & 0 & 0 & 0 \\ 0 & -2\omega_n & 0 & 0 & 0 & 0 & 0 & 0 & 1 & 0 & 0 & 0 \\ 0 & 1/R_e & 0 & 0 & \omega_d & 0 & 0 & 0 & 0 & -1 & 0 & 0 \\ -1/R_e & 0 & 0 & -\omega_d & 0 & \omega_n & 0 & 0 & 0 & 0 & -1 & 0 \\ 0 & -\tan \lambda / R_e & 0 & 0 & -\omega_n & 0 & 0 & 0 & 0 & 0 & 0 & -1 \\ 0 & 0 & 0 & 0 & 0 & 0 & 0 & 0 & 0 & 0 & 0 & 0 \\ 0 & 0 & 0 & 0 & 0 & 0 & 0 & 0 & 0 & 0 & 0 & 0 \\ 0 & 0 & 0 & 0 & 0 & 0 & 0 & 0 & 0 & 0 & 0 & 0 \\ 0 & 0 & 0 & 0 & 0 & 0 & 0 & 0 & 0 & 0 & 0 & 0 \\ 0 & 0 & 0 & 0 & 0 & 0 & 0 & 0 & 0 & 0 & 0 & 0 \\ 0 & 0 & 0 & 0 & 0 & 0 & 0 & 0 & 0 & 0 & 0 & 0 \end{bmatrix}$$

$$\begin{aligned} [\varepsilon \boldsymbol{\omega}^{NE}]^N &= \begin{bmatrix} -\frac{v_e}{R_e^2} \varepsilon h + \frac{1}{R_e} \varepsilon v_e \\ \frac{v_n}{R_e^2} \varepsilon h - \frac{1}{R_e} \varepsilon v_n \\ -\frac{v_e \sec^2 \lambda}{R_e} \varepsilon \lambda + \frac{v_e \tan \lambda}{R_e^2} \varepsilon h - \frac{\tan \lambda}{R_e} \varepsilon v_e \end{bmatrix} = \begin{bmatrix} a \\ b \\ c \end{bmatrix} \\ \rightarrow [\varepsilon \boldsymbol{\Omega}^{NE}]^N &= \begin{bmatrix} 0 & -c & b \\ c & 0 & -a \\ -b & a & 0 \end{bmatrix} \end{aligned} \quad (26)$$

در رابطه (۲۶) نیز تنسور اغتشاش تنسور سرعت زاویه ای چهارچوب جغرافیایی (ناوبری) نسبت به چهارچوب زمین در دستگاه ناوبری بیان شده است.

$$[\boldsymbol{\Omega}^{NE}]^N = \begin{bmatrix} 0 & \frac{v_e \tan \lambda}{R_e} & -\frac{v_n}{R_e} \\ -\frac{v_e \tan \lambda}{R_e} & 0 & -\frac{v_e}{R_e} \\ \frac{v_n}{R_e} & \frac{v_e}{R_e} & 0 \end{bmatrix} \quad (27)$$

در نهایت با جایگذاری روابط (۲۱) تا (۲۷) در رابطه (۲۰)، خطای معادلات سرعت به صورت رابطه (۲۸) استخراج می شود.

(۲۸)

$$\begin{aligned} \dot{v}_n &= T_{11}^{NB} \delta f_x + T_{12}^{NB} \delta f_y + T_{13}^{NB} \delta f_z - \left(\frac{v_e^2 \sec^2 \lambda}{R_e} + 2\omega_n v_e \right) \varepsilon \lambda \\ &+ \frac{(v_e^2 \tan \lambda - v_n v_d)}{R_e^2} \varepsilon h + \frac{v_d}{R_e} \varepsilon v_n + (2\omega_d - \frac{2v_e \tan \lambda}{R_e}) \varepsilon v_e \\ &+ \frac{v_n}{R_e} \varepsilon v_d + f_e \varepsilon \psi - f_d \varepsilon \theta \\ \dot{v}_e &= T_{21}^{NB} \delta f_x + T_{22}^{NB} \delta f_y + T_{23}^{NB} \delta f_z + \left(\frac{v_e v_n \sec^2 \lambda}{R_e} + 2\omega_n v_n + 2\omega_d v_d \right) \varepsilon \lambda \\ &- \frac{(v_e v_n \tan \lambda + v_e v_d)}{R_e^2} \varepsilon h + \left(\frac{v_e \tan \lambda}{R_e} - 2\omega_d \right) \varepsilon v_n + \frac{(v_n \tan \lambda + v_d)}{R_e} \varepsilon v_e \\ &+ \left(\frac{v_e}{R_e} + 2\omega_n \right) \varepsilon v_d - f_n \varepsilon \psi + f_d \varepsilon \varphi \\ \dot{v}_d &= T_{31}^{NB} \delta f_x + T_{32}^{NB} \delta f_y + T_{33}^{NB} \delta f_z + \delta g - 2\omega_d v_e \varepsilon \lambda + \frac{(v_e^2 + v_n^2)}{R_e^2} \varepsilon h \\ &- \frac{2v_n}{R_e} \varepsilon v_n - \left(\frac{2v_e}{R_e} + 2\omega_n \right) \varepsilon v_e + f_n \varepsilon \theta - f_e \varepsilon \varphi \end{aligned}$$

۴-۲ معادلات خطا در حالت سکون زمینی

در بخش های قبلی معادلات کلی خطای متغیرهای ناوبری استخراج شد. در این بخش معادلات استخراج شده را برای انطباق زمینی بازنویسی می کنیم. در انطباق زمینی، موقعیت وسیله نسبت به زمین مفروض است؛ بنابراین می توانیم از متغیرهای موقعیت (εh و $\varepsilon \lambda$) صرف نظر کنیم. همچنین فرض می کنیم که خطاهای بایاس ثابت، فاکتور مقیاس و عدم هم محوری، طی فرایند کالیبراسیون حذف شده اند. لذا δf و $\delta \omega$ معرف نویز سفید حسگرهای اینرسی خواهند بود. همچنین فرض می کنیم بایاس شتابسنجها و دریفت ژيروسکوپها ثابت بوده و تصاویر آنها در دستگاه ناوبری به صورت رابطه (۲۹) نمایش داده می شوند.

$$\begin{bmatrix} b_n \\ b_e \\ b_d \end{bmatrix} = [T]^{NB} \begin{bmatrix} b_x \\ b_y \\ b_z \end{bmatrix}, \quad \begin{bmatrix} d_n \\ d_e \\ d_d \end{bmatrix} = [T]^{NB} \begin{bmatrix} d_x \\ d_y \\ d_z \end{bmatrix} \quad (29)$$

$$\dot{\mathbf{y}} = \mathbf{TAT}^{-1}\mathbf{y} + \mathbf{T}\mathbf{G}\mathbf{w} = \mathbf{L}\mathbf{y} + \mathbf{M}\mathbf{w} \quad (36)$$

با انجام محاسبات، ماتریس های \mathbf{L} و \mathbf{M} بدست خواهند آمد. حال با استفاده از سه معادله اول فضای مشاهده پذیر، شش معادله بعدی را به صورت زیر بازنویسی می کنیم:

$$\begin{aligned} \mathbf{y}_4 - 2\omega_d \mathbf{y}_2 &= \mathbf{b}_n + g\varepsilon\theta \\ \mathbf{y}_5 + 2\omega_d \mathbf{y}_1 &= \mathbf{b}_e - g\varepsilon\varphi \\ \mathbf{y}_6 + 2\omega_n \mathbf{y}_2 &= \mathbf{b}_d \\ \mathbf{y}_7 - \mathbf{y}_2/R_e &= -\mathbf{d}_n + \omega_d \varepsilon\theta \\ \mathbf{y}_8 + \mathbf{y}_1/R_e &= -\mathbf{d}_e + \omega_n \varepsilon\psi - \omega_d \varepsilon\varphi \\ \mathbf{y}_9 + \tan \lambda \mathbf{y}_2/R_e &= -\mathbf{d}_d - \omega_n \varepsilon\theta \end{aligned} \quad (37)$$

در روابط فوق، سمت چپ معادلات معلوم هستند؛ در سمت راست این ۶ معادله، ۹ مجهول وجود دارد که می بایست تخمین زده شوند.

۴- محاسبه دقت نهایی

در این قسمت دقت غیرقابل دسترس الگوریتم محاسبه می شود؛ برای این کار فرض می شود که فیلتر ایده آل است. با توجه به رابطه (۳۷) داریم:

$$\begin{aligned} \mathbf{b}_d &= \mathbf{y}_6 + 2\omega_n \mathbf{y}_2 \\ \varepsilon\theta &= \frac{\mathbf{y}_4 - 2\omega_d \mathbf{y}_2 - \mathbf{b}_n}{g} \quad (\mathbf{b}_n = 0) \\ \mathbf{d}_n &= -\mathbf{y}_7 + \mathbf{y}_2/R_e + \omega_d \varepsilon\theta \\ \mathbf{d}_d &= -\mathbf{y}_9 - \tan \lambda \mathbf{y}_2/R_e - \omega_n \varepsilon\theta \\ \varepsilon\varphi &= \frac{-\mathbf{y}_5 - 2\omega_d \mathbf{y}_1 + \mathbf{b}_e}{g} \quad (\mathbf{b}_e = 0) \\ \varepsilon\psi &= \frac{\mathbf{y}_8 + \mathbf{y}_1/R_e + \omega_d \varepsilon\varphi + \mathbf{d}_e}{\omega_n} \quad (\mathbf{d}_e = 0) \end{aligned} \quad (38)$$

۴-۱- دقت نهایی زوایای تراز

برای ادامه کار تخمین بایاس حسگرها را با علامت $\hat{\cdot}$ نمایش می دهیم. از تخمین بایاس در دستگاه ناوبری (توسط فیلتر)، تخمین مقادیر بایاس در دستگاه بدنی، مطابق رابطه (۳۹) به دست می آید.

$$\begin{aligned} \begin{bmatrix} \hat{b}_x \\ \hat{b}_y \\ \hat{b}_z \end{bmatrix} &= [\mathbf{T}]^{\text{BN}} \begin{bmatrix} 0 \\ 0 \\ \mathbf{b}_d \end{bmatrix} = [\mathbf{T}]^{\text{BN}} \begin{bmatrix} 0 & 0 & 0 \\ 0 & 0 & 0 \\ \mathbf{T}_{31}^{\text{NB}} & \mathbf{T}_{32}^{\text{NB}} & \mathbf{T}_{33}^{\text{NB}} \end{bmatrix} \begin{bmatrix} b_x \\ b_y \\ b_z \end{bmatrix} \\ &= \begin{bmatrix} \mathbf{T}_{11}^{\text{BN}} & \mathbf{T}_{12}^{\text{BN}} & \mathbf{T}_{13}^{\text{BN}} \\ \mathbf{T}_{21}^{\text{BN}} & \mathbf{T}_{22}^{\text{BN}} & \mathbf{T}_{23}^{\text{BN}} \\ \mathbf{T}_{31}^{\text{BN}} & \mathbf{T}_{32}^{\text{BN}} & \mathbf{T}_{33}^{\text{BN}} \end{bmatrix} \begin{bmatrix} 0 & 0 & 0 \\ 0 & 0 & 0 \\ \mathbf{T}_{13}^{\text{BN}} & \mathbf{T}_{23}^{\text{BN}} & \mathbf{T}_{33}^{\text{BN}} \end{bmatrix} \begin{bmatrix} b_x \\ b_y \\ b_z \end{bmatrix} \\ &= \begin{bmatrix} (\mathbf{T}_{13}^{\text{BN}})^2 & \mathbf{T}_{13}^{\text{BN}} \mathbf{T}_{23}^{\text{BN}} & \mathbf{T}_{13}^{\text{BN}} \mathbf{T}_{33}^{\text{BN}} \\ \mathbf{T}_{23}^{\text{BN}} \mathbf{T}_{13}^{\text{BN}} & (\mathbf{T}_{23}^{\text{BN}})^2 & \mathbf{T}_{23}^{\text{BN}} \mathbf{T}_{33}^{\text{BN}} \\ \mathbf{T}_{33}^{\text{BN}} \mathbf{T}_{13}^{\text{BN}} & \mathbf{T}_{33}^{\text{BN}} \mathbf{T}_{23}^{\text{BN}} & (\mathbf{T}_{33}^{\text{BN}})^2 \end{bmatrix} \begin{bmatrix} b_x \\ b_y \\ b_z \end{bmatrix} \end{aligned} \quad (39)$$

می دانیم که $[\mathbf{T}]^{\text{BN}}$ به صورت زیر است:

$$[\mathbf{T}]^{\text{BN}} = \begin{bmatrix} \cos \psi \cos \theta & \sin \psi \cos \theta & -\sin \theta \\ \cos \psi \sin \theta \sin \varphi - \sin \psi \cos \varphi & \sin \psi \sin \theta \sin \varphi + \cos \psi \cos \varphi & \cos \theta \sin \varphi \\ \cos \psi \sin \theta \cos \varphi + \sin \psi \sin \varphi & \sin \psi \sin \theta \cos \varphi - \cos \psi \sin \varphi & \cos \theta \cos \varphi \end{bmatrix} \quad (40)$$

با جایگذاری رابطه (۴۰) در رابطه (۳۹) خواهیم داشت:

$$\begin{bmatrix} \hat{b}_x \\ \hat{b}_y \\ \hat{b}_z \end{bmatrix} = \begin{bmatrix} \sin^2 \theta & -0.5 \sin 2\theta \sin \varphi & -0.5 \sin 2\theta \cos \varphi \\ -0.5 \sin 2\theta \sin \varphi & \cos^2 \theta \sin^2 \varphi & 0.5 \cos^2 \theta \sin 2\varphi \\ -0.5 \sin 2\theta \cos \varphi & 0.5 \cos^2 \theta \sin 2\varphi & \cos^2 \theta \cos^2 \varphi \end{bmatrix} \begin{bmatrix} b_x \\ b_y \\ b_z \end{bmatrix} \quad (41)$$

$$\mathbf{G} = \begin{bmatrix} \mathbf{T}_{11}^{\text{NB}} & \mathbf{T}_{12}^{\text{NB}} & \mathbf{T}_{13}^{\text{NB}} & 0 & 0 & 0 \\ \mathbf{T}_{21}^{\text{NB}} & \mathbf{T}_{22}^{\text{NB}} & \mathbf{T}_{23}^{\text{NB}} & 0 & 0 & 0 \\ \mathbf{T}_{31}^{\text{NB}} & \mathbf{T}_{32}^{\text{NB}} & \mathbf{T}_{33}^{\text{NB}} & 0 & 0 & 0 \\ 0 & 0 & 0 & -\mathbf{T}_{11}^{\text{NB}} & -\mathbf{T}_{12}^{\text{NB}} & -\mathbf{T}_{13}^{\text{NB}} \\ 0 & 0 & 0 & -\mathbf{T}_{21}^{\text{NB}} & -\mathbf{T}_{22}^{\text{NB}} & -\mathbf{T}_{23}^{\text{NB}} \\ 0 & 0 & 0 & -\mathbf{T}_{31}^{\text{NB}} & -\mathbf{T}_{32}^{\text{NB}} & -\mathbf{T}_{33}^{\text{NB}} \\ 0 & 0 & 0 & 0 & 0 & 0 \\ 0 & 0 & 0 & 0 & 0 & 0 \\ 0 & 0 & 0 & 0 & 0 & 0 \\ 0 & 0 & 0 & 0 & 0 & 0 \\ 0 & 0 & 0 & 0 & 0 & 0 \\ 0 & 0 & 0 & 0 & 0 & 0 \\ 0 & 0 & 0 & 0 & 0 & 0 \end{bmatrix}$$

با تولید ماتریس مشاهده پذیری مشخص می شود که مرتبه این ماتریس ۹ است. برای تفکیک زیرفضاها لازم است تا ۹ سطر از ماتریس مشاهده پذیری را با سه سطر دلخواه دیگر ترکیب کرده و یک ماتریس مربعی به ابعاد ۱۲ (برابر با تعداد متغیرهای فیلتر) تولید کنیم، به گونه ای که مرتبه ماتریس تولید شده برابر با ۱۲ شده و یک ماتریس همانندی تشکیل شود. با ضرب ماتریس همانندی تشکیل شده در بردار متغیرهای حالت، فضا به دو زیرفضای مشاهده پذیر و مشاهده ناپذیر تقسیم خواهد شد. در اینجا ماتریس \mathbf{T} به عنوان ماتریس همانندی در نظر گرفته شده است.

$$\mathbf{T} = \begin{bmatrix} 1 & 0 & 0 & 0 & 0 & 0 & 0 & 0 & 0 & 0 & 0 & 0 \\ 0 & 1 & 0 & 0 & 0 & 0 & 0 & 0 & 0 & 0 & 0 & 0 \\ 0 & 0 & 1 & 0 & 0 & 0 & 0 & 0 & 0 & 0 & 0 & 0 \\ 0 & 2\omega_d & 0 & 0 & g & 0 & 1 & 0 & 0 & 0 & 0 & 0 \\ -2\omega_d & 0 & 0 & -g & 0 & 0 & 0 & 1 & 0 & 0 & 0 & 0 \\ 0 & -2\omega_n & 0 & 0 & 0 & 0 & 0 & 0 & 1 & 0 & 0 & 0 \\ 0 & 1/R_e & 0 & 0 & \omega_d & 0 & 0 & 0 & 0 & -1 & 0 & 0 \\ -1/R_e & 0 & 0 & -\omega_d & 0 & \omega_n & 0 & 0 & 0 & 0 & -1 & 0 \\ 0 & -\tan \lambda / R_e & 0 & 0 & -\omega_n & 0 & 0 & 0 & 0 & 0 & 0 & -1 \\ 0 & 0 & 0 & 0 & 0 & 0 & 1 & 0 & 0 & 0 & 0 & 0 \\ 0 & 0 & 0 & 0 & 0 & 0 & 0 & 1 & 0 & 0 & 0 & 0 \\ 0 & 0 & 0 & 0 & 0 & 0 & 0 & 0 & 1 & 0 & 0 & 0 \\ 0 & 0 & 0 & 0 & 0 & 0 & 0 & 0 & 0 & 0 & 1 & 0 \end{bmatrix} \quad (34)$$

با ضرب ماتریس همانندی معرفی شده در بردار متغیرهای حالت (\mathbf{EX})، فضا به دو زیرفضای مشاهده پذیر و مشاهده ناپذیر تقسیم می شود. با انجام این کار خواهیم داشت:

$$\begin{aligned} \mathbf{y}_{12 \times 1} &= \mathbf{T}_{12 \times 12} \mathbf{EX}_{12 \times 1} \\ \mathbf{y}_1 &= \varepsilon v_n \\ \mathbf{y}_2 &= \varepsilon v_e \\ \mathbf{y}_3 &= \varepsilon v_d \\ \mathbf{y}_4 &= \mathbf{b}_n + g\varepsilon\theta + 2\omega_d \varepsilon v_e \\ \mathbf{y}_5 &= \mathbf{b}_e - g\varepsilon\varphi - 2\omega_d \varepsilon v_n \\ \mathbf{y}_6 &= \mathbf{b}_d - 2\omega_n \varepsilon v_e \\ \mathbf{y}_7 &= -\mathbf{d}_n + \omega_d \varepsilon\theta + \varepsilon v_e / R_e \\ \mathbf{y}_8 &= -\mathbf{d}_e + \omega_n \varepsilon\psi - \omega_d \varepsilon\varphi - \varepsilon v_n / R_e \\ \mathbf{y}_9 &= -\mathbf{d}_d - \omega_n \varepsilon\theta - \tan \lambda \varepsilon v_e / R_e \\ \mathbf{y}_{10} &= \mathbf{b}_e \\ \mathbf{y}_{11} &= \mathbf{d}_e \\ \mathbf{y}_{12} &= \mathbf{d}_d \end{aligned} \quad (35)$$

در فضای جدید \mathbf{y}_1 تا \mathbf{y}_9 در زیرفضای مشاهده پذیر هستند و \mathbf{y}_{10} تا \mathbf{y}_{12} در زیرفضای مشاهده ناپذیر قرار دارند. حال می خواهیم معادلات حالت در فضای جدید را بدست بیاوریم. به این منظور خواهیم داشت:

(۴۸)

$$\begin{bmatrix} \dot{d}_x \\ \dot{d}_y \\ \dot{d}_z \end{bmatrix} = [T]^{BN} \begin{bmatrix} d_n \\ 0 \\ d_d \end{bmatrix} = \begin{bmatrix} T_{11}^{BN} & T_{12}^{BN} & T_{13}^{BN} \\ T_{21}^{BN} & T_{22}^{BN} & T_{23}^{BN} \\ T_{31}^{BN} & T_{32}^{BN} & T_{33}^{BN} \end{bmatrix} \begin{bmatrix} d_x \\ d_y \\ d_z \end{bmatrix} = \begin{bmatrix} (T_{11}^{BN})^2 + (T_{13}^{BN})^2 & T_{11}^{BN}T_{21}^{BN} + T_{13}^{BN}T_{23}^{BN} & T_{11}^{BN}T_{31}^{BN} + T_{13}^{BN}T_{33}^{BN} \\ T_{21}^{BN}T_{11}^{BN} + T_{23}^{BN}T_{13}^{BN} & (T_{21}^{BN})^2 + (T_{23}^{BN})^2 & T_{21}^{BN}T_{31}^{BN} + T_{23}^{BN}T_{33}^{BN} \\ T_{31}^{BN}T_{11}^{BN} + T_{33}^{BN}T_{13}^{BN} & T_{31}^{BN}T_{21}^{BN} + T_{33}^{BN}T_{23}^{BN} & (T_{31}^{BN})^2 + (T_{33}^{BN})^2 \end{bmatrix} \begin{bmatrix} d_x \\ d_y \\ d_z \end{bmatrix} = C \begin{bmatrix} d_x \\ d_y \\ d_z \end{bmatrix}$$

اکنون می‌خواهیم دریفت تخمین زده شده را از خروجی حسگرها حذف کنیم:

$$\begin{bmatrix} d_x \\ d_y \\ d_z \end{bmatrix}_{k+1} = \begin{bmatrix} d_x \\ d_y \\ d_z \end{bmatrix}_k - \begin{bmatrix} \dot{d}_x \\ \dot{d}_y \\ \dot{d}_z \end{bmatrix}_k = \left\{ \begin{bmatrix} 1 & 0 & 0 \\ 0 & 1 & 0 \\ 0 & 0 & 1 \end{bmatrix} - C \right\} \begin{bmatrix} d_x \\ d_y \\ d_z \end{bmatrix}_k = E^k \begin{bmatrix} d_x \\ d_y \\ d_z \end{bmatrix}_k; \quad k=0,1,2,\dots$$

مشاهده می‌شود که ماتریس E^k با افزایش k به سرعت همگرا می‌شود. به عبارت دیگر با گذشت زمان (دو تکرار فیلتر ایده‌آل و یا چندین تکرار فیلتر غیرایده‌آل)، مقدار نهایی دریفت باقی‌مانده بدست می‌آید. این دریفت باقی‌مانده، قابل حذف نبوده و به دریفت سنسور و وضعیت جسم بستگی دارد. با داشتن دریفت باقی‌مانده در دستگاه بدنی می‌توان دریفت باقی‌مانده در دستگاه نوبری را محاسبه کرد.

(۵۰)

$$\begin{bmatrix} d_n \\ d_c \\ d_d \end{bmatrix}_{k+1} = [T]^{NB} \begin{bmatrix} d_x \\ d_y \\ d_z \end{bmatrix}_{k+1} = [T]^{NB} E^k \begin{bmatrix} d_x \\ d_y \\ d_z \end{bmatrix}_k = D_k \begin{bmatrix} d_x \\ d_y \\ d_z \end{bmatrix}_k; \quad k=0,1,2,\dots$$

با انجام محاسبات خواهیم داشت:

(۵۱)

$$D_k = \begin{bmatrix} 0 & 0 & 0 \\ D_{21} & D_{22} & D_{23} \\ 0 & 0 & 0 \end{bmatrix}; \quad k=2,3,\dots$$

$$\begin{aligned} D_{21} &= \cos\theta \sin\psi \\ D_{22} &= 0.25 \sin(\varphi + \psi - \theta) - 0.25 \sin(\varphi + \psi + \theta) + 0.25 \sin(\varphi - \psi + \theta) \\ &\quad - 0.25 \sin(\varphi - \psi - \theta) + 0.5 \cos(\varphi + \psi) + 0.5 \cos(\varphi - \psi) \\ D_{23} &= 0.25 \cos(\varphi + \psi - \theta) - 0.25 \cos(\varphi + \psi + \theta) + 0.25 \cos(\varphi - \psi + \theta) \\ &\quad - 0.25 \cos(\varphi - \psi - \theta) - 0.5 \sin(\varphi + \psi) - 0.5 \sin(\varphi - \psi) \end{aligned}$$

با استفاده از رابطه (۵۱) و معادله به‌دست آمده برای $\varepsilon\psi$ در رابطه (۳۸) خواهیم داشت:

$$\varepsilon\psi|_{\min} = \frac{\begin{bmatrix} +[\cos\theta \sin\psi]d_x \\ +[0.25 \sin(\varphi + \psi - \theta) - 0.25 \sin(\varphi + \psi + \theta) + 0.25 \sin(\varphi - \psi + \theta) \\ - 0.25 \sin(\varphi - \psi - \theta) + 0.5 \cos(\varphi + \psi) + 0.5 \cos(\varphi - \psi)]d_y \\ +[0.25 \cos(\varphi + \psi - \theta) - 0.25 \cos(\varphi + \psi + \theta) + 0.25 \cos(\varphi - \psi + \theta) \\ - 0.25 \cos(\varphi - \psi - \theta) - 0.5 \sin(\varphi + \psi) - 0.5 \sin(\varphi - \psi)]d_z \end{bmatrix}}{\omega_x} \quad (52)$$

$$-\tan\lambda \frac{\begin{bmatrix} +[\sin\psi \cos\theta]b_x + [\sin\psi \sin\theta \sin\varphi + \cos\psi \cos\varphi]b_y \\ +[\sin\psi \sin\theta \cos\varphi - \cos\psi \sin\varphi]b_z \end{bmatrix}}{g}$$

رابطه فوق بیانگر دقت نهایی تخمین زاویه سمت می‌باشد.

۵- شبیه‌سازی

پس از استخراج روابط دقت نهایی زوایای سمت و تراز که به وسیله تخمین مقادیر بایاس شتاب‌سنج و دریفت ژيروسکوپ و سپس حذف خطای تخمینی از خروجی حسگرها به‌دست آمده‌است، قصد داریم تا روابط بدست‌آمده را شبیه‌سازی و صحت‌گذاری کنیم.

روابطی که در گذشته برای دقت نهایی زوایای سمت و تراز وجود داشت و به‌طور مستقیم از روابط (۳۸) استخراج شده بود به شرح زیر است:

در این مرحله سعی در حذف بایاس تخمین زده شده از خروجی حسگرها (در دستگاه بدنی) داریم:

$$\begin{bmatrix} b_x \\ b_y \\ b_z \end{bmatrix}_{k+1} = \begin{bmatrix} b_x \\ b_y \\ b_z \end{bmatrix}_k - \begin{bmatrix} \hat{b}_x \\ \hat{b}_y \\ \hat{b}_z \end{bmatrix}_k = E^k \begin{bmatrix} b_x \\ b_y \\ b_z \end{bmatrix}_k; \quad k=0,1,2,\dots \quad (42)$$

$$E^k = \begin{bmatrix} 1 & 0 & 0 \\ 0 & 1 & 0 \\ 0 & 0 & 1 \end{bmatrix} - \begin{bmatrix} \sin^2\theta & -0.5 \sin 2\theta \sin\varphi & -0.5 \sin 2\theta \cos\varphi \\ -0.5 \sin 2\theta \sin\varphi & \cos^2\theta \sin^2\varphi & 0.5 \cos^2\theta \sin 2\varphi \\ -0.5 \sin 2\theta \cos\varphi & 0.5 \cos^2\theta \sin 2\varphi & \cos^2\theta \cos^2\varphi \end{bmatrix}$$

مشاهده می‌شود که ماتریس E^k با افزایش k به سرعت همگرا می‌شود؛ به طوری که داریم:

(۴۳)

$$E^k = \begin{bmatrix} \cos^2\theta & 0.5 \sin 2\theta \sin\varphi & 0.5 \sin 2\theta \cos\varphi \\ 0.5 \sin 2\theta \sin\varphi & \cos^2\varphi + \sin^2\varphi \sin^2\theta & -0.5 \cos^2\theta \sin 2\varphi \\ 0.5 \sin 2\theta \cos\varphi & -0.5 \cos^2\theta \sin 2\varphi & 1 - \cos^2\theta \cos^2\varphi \end{bmatrix}; \quad k=2,3,4,\dots$$

با جایگذاری رابطه (۴۳) در رابطه (۴۲) خواهیم داشت:

(۴۴)

$$\begin{bmatrix} b_x \\ b_y \\ b_z \end{bmatrix}_{k+1} = \begin{bmatrix} \cos^2\theta & 0.5 \sin 2\theta \sin\varphi & 0.5 \sin 2\theta \cos\varphi \\ 0.5 \sin 2\theta \sin\varphi & \cos^2\varphi + \sin^2\varphi \sin^2\theta & -0.5 \cos^2\theta \sin 2\varphi \\ 0.5 \sin 2\theta \cos\varphi & -0.5 \cos^2\theta \sin 2\varphi & 1 - \cos^2\theta \cos^2\varphi \end{bmatrix} \begin{bmatrix} b_x \\ b_y \\ b_z \end{bmatrix}_k; \quad k=3,4,\dots$$

عبارت فوق به این معناست که با گذشت زمان (چند تکرار فیلتر ایده‌آل)، مقدار نهایی بایاس باقی‌مانده به‌دست می‌آید. این بایاس باقی‌مانده، قابل حذف نبوده و به بایاس سنسور و وضعیت جسم بستگی دارد. با داشتن بایاس باقی‌مانده در دستگاه بدنی می‌توان بایاس باقی‌مانده در دستگاه نوبری را محاسبه کرد. در نهایت با استفاده از رابطه (۴۰) و (۴۴) خواهیم داشت:

(۴۵)

$$\begin{bmatrix} b_x \\ b_y \\ b_z \end{bmatrix}_k = \begin{bmatrix} \cos\psi \cos\theta & \cos\psi \sin\theta \sin\varphi - \sin\psi \cos\varphi & \cos\psi \sin\theta \cos\varphi + \sin\psi \sin\varphi \\ \sin\psi \cos\theta & \sin\psi \sin\theta \sin\varphi + \cos\psi \cos\varphi & \sin\psi \sin\theta \cos\varphi - \cos\psi \sin\varphi \\ 0 & 0 & 0 \end{bmatrix} \begin{bmatrix} b_x \\ b_y \\ b_z \end{bmatrix}_0; \quad k=3,4,\dots$$

با استفاده از رابطه فوق و معادلات استخراج شده برای $\varepsilon\theta$ و $\varepsilon\psi$ در روابط (۳۸) خواهیم داشت:

(۴۶)

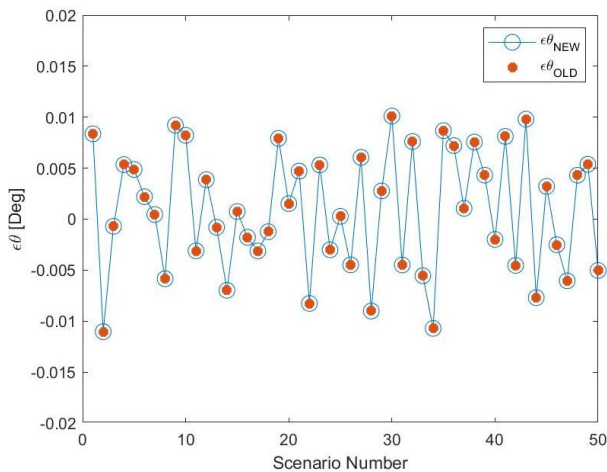
$$\varepsilon\theta|_{\min} = \frac{\begin{bmatrix} +(\sin\psi \cos\theta)b_x + (\sin\psi \sin\theta \sin\varphi + \cos\psi \cos\varphi)b_y \\ +(\sin\psi \sin\theta \cos\varphi - \cos\psi \sin\varphi)b_z \end{bmatrix}}{g} \quad (47)$$

$$\varepsilon\theta|_{\min} = - \frac{\begin{bmatrix} +(\cos\psi \cos\theta)b_x + (\cos\psi \sin\theta \sin\varphi - \sin\psi \cos\varphi)b_y \\ +(\cos\psi \sin\theta \cos\varphi + \sin\psi \sin\varphi)b_z \end{bmatrix}}{g}$$

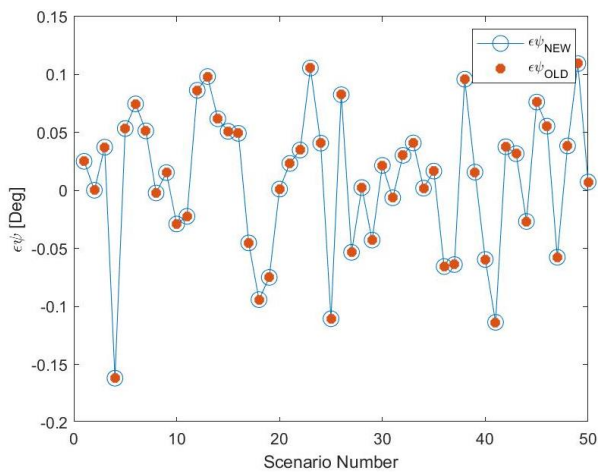
روابط (۴۶) و (۴۷) بیانگر دقت نهایی تخمین زوایای تراز می‌باشند.

۴-۱- دقت نهایی زاویه سمت

مشابه بخش قبلی، پس از تخمین دریفت ژيروسکوپ‌ها به این صورت عمل می‌کنیم:



شکل ۲- دقت نهایی تخمین زاویه θ



شکل ۳- دقت نهایی تخمین زاویه ψ

مشاهده می‌شود که نتایج شبیه‌سازی روابط به‌دست‌آمده برای دقت تخمین زوایای سمت و تراز در این پژوهش، در تطابق با نتایج شبیه‌سازی روابط سابق است و بدین وسیله اعتبار روابط به‌دست‌آمده تایید می‌شود.

۶- نتیجه‌گیری

در این مقاله، ابتدا مدل خطای متغیرهای ناوبری در حالت عمومی استخراج شد و پس از آن روابط حاصل از این مدل‌سازی برای شرایط سکون زمینی بازنویسی شدند. در بخش سوم، به منظور افزایش دقت تخمین، معادلات خطای ناوبری را به دو زیرفضای مشاهده‌پذیر و مشاهده‌ناپذیر تقسیم کرده و پس از آن با استفاده از روابط به‌دست‌آمده در فضای مشاهده‌پذیر، و همچنین حذف بایاس تخمین زده‌شده از خروجی حسگرها در دستگاه بدنی، رابطه جدیدی برای دقت نهایی زوایای تراز و سمت استخراج شده است که دارای عبارت‌های حاوی زوایای اوپلر است. با استفاده از این روابط، مسائل بهینه‌سازی مختلفی قابل طرح خواهند بود که این امکان برای روابط سابق وجود نداشت.

با شبیه‌سازی روابط جدید و روابط قدیمی با استفاده از داده‌های ۵۰ سناریوی مختلف و تصادفی و همچنین بررسی نتایج حاصل از شبیه‌سازی، انطباق میان خروجی‌های روابط جدید و قدیم صحت‌گذاری شد.

$$\min\{\varepsilon\varphi\} = \frac{b_e}{g} \quad (53)$$

$$\min\{\varepsilon\theta\} = \frac{-b_n}{g} \quad (54)$$

$$\min\{\varepsilon\psi\} = \frac{\omega_d b_e}{g\omega_n} + \frac{d_e}{\omega_n} \quad (55)$$

برای شبیه‌سازی از ۵۰ سناریوی مختلف و تصادفی برای وضعیت و موقعیت، و همچنین ۵۰ داده برای بایاس و دریفت شتاب‌سنج و ژيروسکوپ متناظر با سناریوها استفاده شده است، که چند نمونه از آنها در جدول‌های (۱) و (۲) نمایش داده شده است.

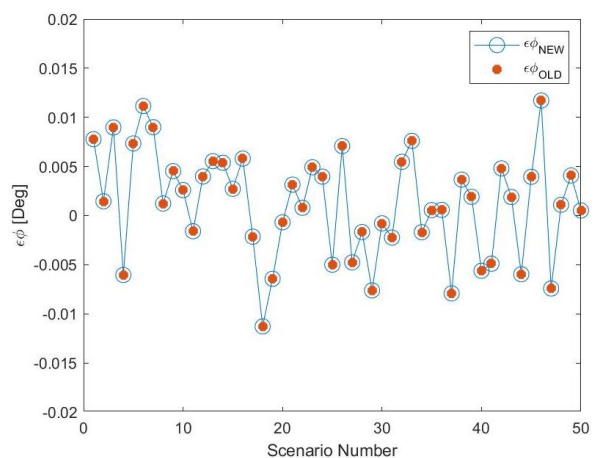
جدول ۱- برخی از داده‌های مربوط به وضعیت و موقعیت در سناریوهای مختلف

| سناریو | φ (deg) | θ (deg) | ψ (deg) | λ (deg) |
|--------|-----------------|----------------|--------------|-----------------|
| ۱ | ۴۶/۶۱۳ | ۷۳/۵۵۱ | ۱۴۳/۵۳۱ | ۵۲/۰۶۳ |
| ۲ | -۶۲/۹۴۵ | -۷۱/۰۰۰ | -۳۹/۹۰۸ | ۵۲/۷۰۳ |
| ۳ | -۵۵/۸۵۳ | ۷۷/۴۷۷ | ۶/۵۵۴ | ۷/۱۲۵ |
| ۴ | ۱۱۹/۱۵۱ | -۷۴/۷۰۰ | -۳۲/۰۰۲ | -۷۷/۴۰۰ |
| ۵ | -۲۷/۸۸۸ | -۳۴/۶۵۹ | ۳۹/۵۲۸ | ۴۰/۳۷۴ |

جدول ۲- برخی از داده‌های مربوط به بایاس و دریفت در سناریوهای مختلف

| سناریو | b_x (μg) | b_y (μg) | b_z (μg) | d_x (c/hr) | d_y (c/hr) | d_z (c/hr) |
|--------|-------------------|-------------------|-------------------|--------------|--------------|--------------|
| ۱ | ۵۵ | ۱۲۳ | ۱۴۷ | ۰/۰۱۲ | ۰/۰۰۹ | ۰/۰۰۵ |
| ۲ | ۱۳۳ | ۱۴۸ | ۸۵ | ۰/۰۱۴ | ۰/۰۰۸ | ۰/۰۰۵ |
| ۳ | ۱۱۹ | ۸۳ | ۱۳۰ | ۰/۰۰۵ | ۰/۰۰۶ | ۰/۰۰۸ |
| ۴ | ۷۲ | ۱۰۶ | ۱۰۰ | ۰/۰۱۵ | ۰/۰۱۰ | ۰/۰۰۶ |
| ۵ | ۷۳ | ۹۹ | ۱۴۰ | ۰/۰۱۴ | ۰/۰۱۵ | ۰/۰۰۸ |

با استفاده از داده‌های مذکور، شبیه‌سازی معادلات استخراج شده، در ۵۰ سناریو انجام شده و نتایج آن برای رابطه جدید با زیرنویس NEW و برای رابطه قدیمی با زیرنویس OLD نمایش داده شده است.



شکل ۱- دقت نهایی تخمین زاویه φ

- [22] Jiang, Y. Error estimation of INS ground alignment through observability analysis. *IEEE Transactions on Aerospace and Electronic Systems*, 28 (1992), 92—96.
- [23] Gao, Wei, et al. "Rapid fine strapdown INS alignment method under marine mooring condition." *IEEE Transactions on Aerospace and Electronic Systems* 47.4 (2011): 2887-2896.
- [24] I. Y. Bar-Itzhack and N. Berman; "Control Theoretic Approach to Inertial Navigation Systems", *Journal of Guidance, Control and Dynamics*, Vol. 11, No. 3, May-June 1988.
- [1] Zhang Q., Hu Y., Li S. (2021) Mounting parameter estimation from velocity vector observations for land vehicle navigation. *J. IEEE Transactions on Industrial Electronics*, 29(06): 4234-4244.
- [2] Zhao W., Cheng Y., Zhao S. (2021) Navigation grade MEMS IMU for a satellite. *J. Micromachines*, 12(2): 151.
- [3] Zou, Tao, et al. "Fine Alignment Algorithm of Regular Tetrahedral Redundant Strapdown Inertial Navigation System Base on Kalman Filter." 2022 2nd International Conference on Electrical Engineering and Mechatronics Technology (ICEEMT). IEEE, 2022.
- [4] Ning X.G., Huang J.X., Li J.X. (2021) A latitude self-estimation method of strapdown inertial navigation under complex interference. *J. Journal of Chinese Inertial Technology*, 29(03): 288-292+299.
- [5] Yang D., Yu W. (2013) Research on initial alignment for large azimuth misalignment angle with Sage_Husa adaptive filtering. *J. Infrared and Laser Engineering*, 42(8): 2197-2201.
- [6] Yu, M. J. Comparison of SDINS in-flight alignment using equivalent error models. *IEEE Transactions on Aerospace and Electronic Systems*, 35 (1999), 1046—1054. [7] Qin, Y. Y.
- [7] Titterton D. H., Weston J. L., *Strapdown Inertial Navigation Technology*, Lavenham, UK : The Lavenham Press Ltd (1997).
- [8] Shin E-H., *Estimation Techniques for Low-Cost Inertial Navigation*, Ph.D. dissertation, Dept. Geom. Eng., University of Calgary, Calgary, CA, (2005).
- [9] Salychev O., *Applied Inertial Navigation: Problems and Solutions*. ISBN 5-7038-2395-1 : Bauman MSTU Press (2004).
- [10] Reinstein M., Sipos M., Rohac J., *Error Analyses of Attitude and Heading Reference Systems*, *Przeglad Elektrotechniczny*, 85 (2009), No. 8, 114-118
- [11] Reinstein M., Rohac J., Sipos M., *Algorithms for Heading Determination using Inertial Sensors* , *Przeglad Elektrotechniczny* 86 (2010), No. 9, 243-246
- [12] Reinstein, Michal. "Evaluation of fine alignment algorithm for inertial navigation." *Przeglad Elektrotechniczny* 87.7 (2011): 255-258.
- [13] Sotak M., *Coarse alignment algorithm for ADIS16405*, *Przeglad Elektrotechniczny* 86 (2010), No. 9, 247-251
- [14] Grewal M. S., Andrews A. P., *Kalman Filtering - Theory and Practice using MATLAB*. New York : Wiley-Interscience (2001)
- [15] Acharya, Arunasish, Smita Sadhu, and Tapan Kumar Ghoshal. "Improving self-alignment of strapdown INS using measurement augmentation." 2009 12th International Conference on Information Fusion. IEEE, 2009.
- [16] Jiang, Yeon Fuh. "Error analysis of analytic coarse alignment methods." *IEEE Transactions on Aerospace and Electronic Systems* 34.1 (1998): 334-337.
- [17] Qin, Y. Y. *Inertial navigation*. Beijing, China: Science Press, 2006, 14-26
- [18] Li, Y. Gyrocompass self-alignment of SINS. *Journal of Chinese Inertial Technology*, 16 (2008), 386—389.
- [19] Yu, M. J. Comparison of SDINS in-flight alignment using equivalent error models. *IEEE Transactions on Aerospace and Electronic Systems*, 35 (1999), 1046—1054. [7] Qin, Y. Y.
- [20] Yongyuan, Qin, et al. "A clever way of SINS coarse alignment despite rocking ship." *JOURNAL-NORTHWESTERN POLYTECHNICAL UNIVERSITY* 23.5 (2005): 684.
- [21] Yan, G. M. *On SINS in-movement inertial alignment and some other problems*. Ph.D. dissertation, Dept. of Electrical Engineering, Northwestern Polytechnical University, China, 2008.